

Problème 1 /15

Partie 1

1.1 Symétries du problème /1.5

La distribution de charges est invariante par :

- symétrie par rapport à tout plan passant par l'axe Oz /0.5
- symétrie par rapport au plan contenant la boucle /0.5
- toute rotation selon l'axe Oz /0.5

1.2 Système de coordonnées /0.5

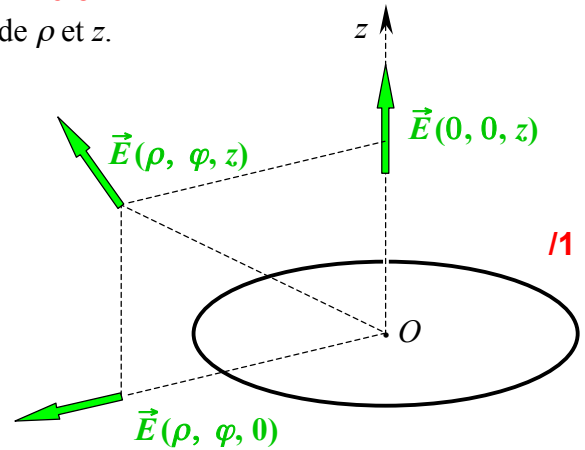
Il convient d'utiliser le système de coordonnées cylindriques

1.3 Variables dont dépend le champ électrique \vec{E} /0.5

Le champ ne dépend pas de φ mais seulement de ρ et z .

1.4 Représentation du champ électrique \vec{E} /2

- $\vec{E}(O) = \vec{0}$ /0.25
- $\vec{E}(0, 0, z) = E(z) \vec{e}_z$ /0.25
- $\vec{E}(\rho, \varphi, 0) = E(\rho) \vec{e}_\rho$ /0.25
- $\vec{E}(\rho, \varphi, z) = E_\rho(\rho, z) \vec{e}_\rho + E_z(\rho, z) \vec{e}_z$ /0.25



1.5 Champ élémentaire $d\vec{E}$ /1.5

$$d\vec{E} = \frac{1}{4\pi\epsilon_0} \frac{dq}{PM^3} \vec{PM}$$

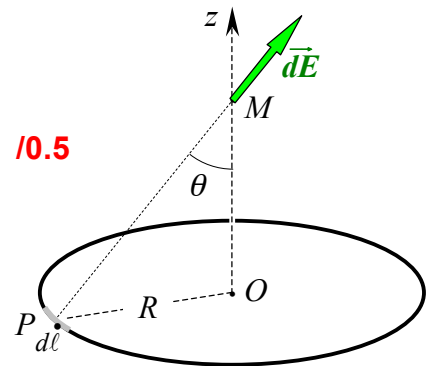
avec : $dq = \lambda d\ell = \lambda R d\varphi$

$$\vec{PM} = -R \vec{e}_\rho + z \vec{e}_z$$

$$PM = (R^2 + z^2)^{1/2}$$

$$d\vec{E} = \frac{\lambda R d\varphi}{4\pi\epsilon_0} \frac{[-R \vec{e}_\rho + z \vec{e}_z]}{(R^2 + z^2)^{3/2}}$$

} /1



1.6 Calcul de $\vec{E}(M)$ /1.5

On intègre sur la circonférence :

$$\vec{E}(M) = \frac{\lambda R}{4\pi\epsilon_0} \frac{1}{(R^2 + z^2)^{3/2}} \left[-R \int_0^{2\pi} d\varphi \vec{e}_\rho + z \int_0^{2\pi} d\varphi \vec{e}_z \right] \quad /0.5$$

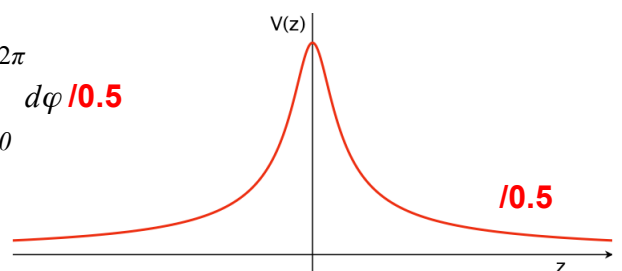
La première intégrale est nulle par symétrie, /0.5 d'où :

$$\vec{E}(M) = \frac{\lambda R z}{2 \epsilon_0 (R^2 + z^2)^{3/2}} \vec{e}_z \quad /0.5$$

1.7 Calcul du potentiel sur l'axe /2

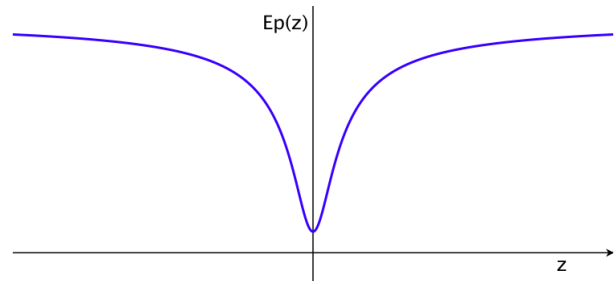
$$V(M) = \int_C \frac{dq}{4\pi\epsilon_0 PM} \quad /0.5 = \frac{\lambda R}{4\pi\epsilon_0 (R^2 + z^2)^{1/2}} \int_0^{2\pi} d\varphi \quad /0.5$$

$$V(M) = \frac{\lambda R}{2\epsilon_0 (R^2 + z^2)^{1/2}} \quad /0.5$$



1.8 Position d'équilibre de la particule /1

La particule va se placer à la position du minimum d'énergie potentielle : en $z = 0$
 On retrouve ce résultat en prenant les forces coulombiennes exercées sur la particule : la force \vec{F} est exercée vers le bas (resp. vers le haut) quand la particule est en $z > 0$ (resp. $z < 0$).



Partie 2

1.9 Champ créé par un cylindre sur l'axe Oz /0.5

L'analyse des symétries montre que tout plan passant par l'axe Oz laisse la distribution invariante.

$$\vec{E}(0, 0, z) = E(z) \vec{e}_z \quad /0.25 \text{ si pas de justification}$$

1.10 Charge sur la surface du cylindre /0.5

$$Q_T = \iint_S \sigma dS = \sigma \iint_S dS = 4\pi \sigma R L$$

1.11 Charge infinitésimale dans la tranche d'épaisseur dz /0.5

$$dq = \sigma dS = \sigma 2\pi R dz_p$$

1.12 Champ régnant en un point de l'axe /3

On reprend l'expression du champ créé par l'anneau contenant la charge $q = 2\pi R \lambda$:

$$\vec{E}(M) = \frac{\lambda R}{2\epsilon_0} \frac{z}{(R^2 + z^2)^{3/2}} \vec{e}_z = \frac{2\pi R \lambda}{4\pi \epsilon_0} \frac{z}{(R^2 + z^2)^{3/2}} \vec{e}_z$$

On identifie la charge contenue dans l'anneau ($q = 2\pi R \lambda$) à la charge élémentaire dq contenue dans la tranche d'épaisseur dz_p . On en déduit le champ infinitésimal créé en M par la tranche située à la cote z_p :

$$dE(M) = \frac{dq}{4\pi \epsilon_0} \frac{z - z_p}{(R^2 + (z - z_p)^2)^{3/2}} = \frac{\sigma R}{2\epsilon_0} \frac{(z - z_p) dz_p}{(R^2 + (z - z_p)^2)^{3/2}}$$

d'où :

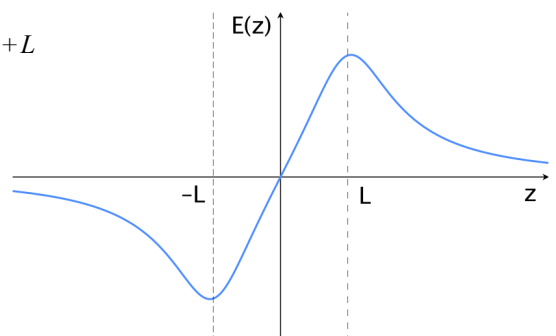
$$E(M) = \frac{\sigma R}{2\epsilon_0} \int_{-L}^{+L} \frac{(z - z_p) dz_p}{(R^2 + (z - z_p)^2)^{3/2}}$$

En effectuant le changement de variable $Z = z - z_p$ avec $dZ = -dz_p$, il vient :

$$E(M) = \frac{\sigma R}{2\epsilon_0} \int_{z+L}^{z-L} \frac{-Z dZ}{(R^2 + Z^2)^{3/2}} = \frac{\sigma R}{2\epsilon_0} \left[\frac{1}{\sqrt{R^2 + Z^2}} \right]_{z+L}^{z-L}$$

D'où finalement :

$$E(M) = \frac{\sigma R}{2\epsilon_0} \left[\frac{1}{\sqrt{R^2 + (z-L)^2}} - \frac{1}{\sqrt{R^2 + (z+L)^2}} \right]$$



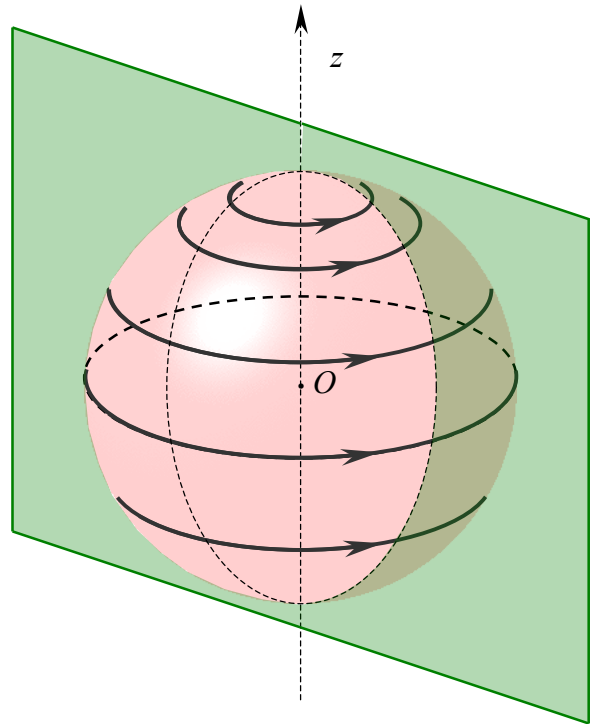
Problème 2 /15

2.1 Analyse des symétries /1

La distribution de courant est invariante par toute rotation selon l'axe Oz

La distribution de courants présente des plans :

- d'antisymétrie passant par l'axe Oz ,
- de symétrie perpendiculaire à l'axe Oz et passant par O .



2.2 Valeur du champ /2

- $\vec{B}(O) = B(0) \vec{e}_z$ /0.5
- $\vec{B}(0, 0, z) = B(z) \vec{e}_z$ /0.5
- $\vec{B}(\rho, \varphi, 0) = B(\rho, \varphi, 0) \vec{e}_z$ /0.5
- $\vec{B}(\rho, \varphi, z) = B_\rho \vec{e}_\rho + B_z \vec{e}_z$ /0.5

2.3 Vecteurs \vec{OP} , \vec{OM} , \vec{PM} et $d\vec{\ell}$ /2

$$\vec{OP} = \rho \vec{e}_\rho + z \vec{e}_z \quad /0.5$$

$$\vec{OM} = z_M \vec{e}_z \quad /0.5$$

$$\vec{PM} = \vec{PO} + \vec{OM} = -\rho \vec{e}_\rho - z \vec{e}_z + z_M \vec{e}_z = -\rho \vec{e}_\rho + (z_M - z) \vec{e}_z \quad /0.5$$

$$d\vec{\ell} = \rho d\varphi \vec{e}_\varphi \quad /0.5$$

2.4 Distance PM /0.5

$$PM = \sqrt{\rho^2 + (z_M - z)^2}$$

2.5 Calcul et représentation de $d^2\vec{B}$ /2

D'après la relation de Biot et Savart :

$$d^2\vec{B} = \frac{\mu_0 dI}{4\pi} \frac{d\vec{\ell} \wedge \vec{PM}}{PM^3} \quad /0.5$$

$$d^2\vec{B} = \frac{\mu_0 dI}{4\pi} \frac{\rho d\varphi \vec{e}_\varphi \wedge [-\rho \vec{e}_\rho + (z_M - z) \vec{e}_z]}{(\rho^2 + (z_M - z)^2)^{3/2}} \quad /0.5$$

$$d^2\vec{B} = \frac{\mu_0 dI}{4\pi} \frac{\rho^2 d\varphi \vec{e}_z + \rho d\varphi (z_M - z) \vec{e}_\varphi}{(\rho^2 + (z_M - z)^2)^{3/2}} \quad /0.5$$

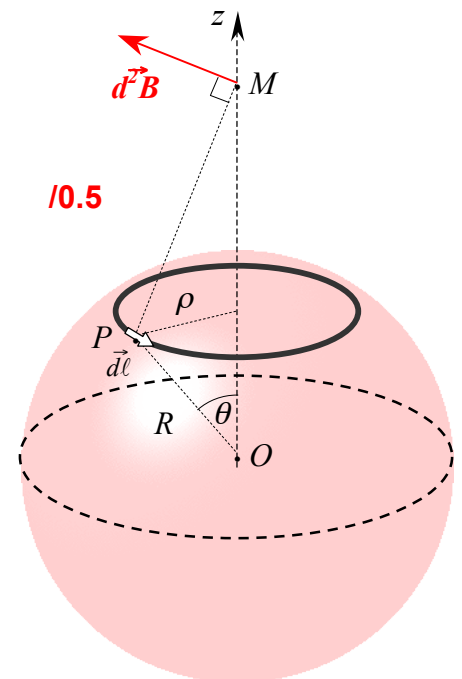
2.6 Composante de $d^2\vec{B}$ selon \vec{e}_z /0.5

$$d^2B_z = d^2\vec{B} \cdot \vec{e}_z = \frac{\mu_0 dI}{4\pi} \frac{\rho^2 d\varphi}{(\rho^2 + (z_M - z)^2)^{3/2}}$$

2.7 Champ élémentaire $d\vec{B}(M)$ créé par le contour de rayon ρ /1

$$dB = \frac{\mu_0 dI}{4\pi} \int_0^{2\pi} \frac{\rho^2 d\varphi}{(\rho^2 + (z_M - z)^2)^{3/2}} = \frac{\mu_0 dI}{2} \frac{\rho^2}{(\rho^2 + (z_M - z)^2)^{3/2}}$$

Ce champ élémentaire $d\vec{B}(M)$ est dirigé selon \vec{e}_z



2.8 Champ créé en M sur l'axe Oz /2

Pour obtenir le champ créé par l'ensemble de la nappe de courant, il suffit d'intégrer sur θ variant de 0 à π :

$$B(M) = \frac{\mu_0}{2} \int_0^\pi \frac{\rho^2 \sigma \omega R d\theta}{(\rho^2 + (z_M - z)^2)^{3/2}}$$

On pose $\rho = R \sin\theta$ et $z = R \cos\theta$, dans ce cas, il vient :

$$B(M) = \frac{\mu_0 \sigma \omega R^4}{2} \int_0^\pi \frac{\sin^3 \theta d\theta}{[R^2 \sin^2 \theta + (z_M - R \cos\theta)^2]^{3/2}}$$

2.9 Champ créé en M sur l'axe Oz avec $z_M \gg R$ /2

On peut négliger R devant z_M , dans ce cas, l'intégrale se résume à :

$$B(M) = \frac{\mu_0 \sigma \omega R^4}{2} \int_0^\pi \frac{\sin^3 \theta d\theta}{z_M^3}$$

$$\text{avec } \int_0^\pi \sin^3 \theta d\theta = \int_0^\pi \sin\theta (1 - \sin^2 \theta) d\theta = 4/3$$

d'où finalement sur l'axe et à grande distance de la sphère : $B(M) = \frac{2 \mu_0 \sigma \omega R^4}{3 z_M^3}$

2.10 B(O) /2

$$B(O) = \frac{\mu_0 \sigma \omega R^4}{2} \int_0^\pi \frac{\sin^3 \theta d\theta}{[R^2 \sin^2 \theta + R^2 \cos^2 \theta]^{3/2}} = \frac{\mu_0 \sigma \omega R}{2} \int_0^\pi \sin^3 \theta d\theta = \frac{2 \mu_0 \sigma \omega R}{3}$$